文章编号: 1006-4354 (2013) 02-0001-07

2012 年 7 月陕西北部连续 3 次 大暴雨过程对比分析

李 强

(榆林市气象局,陕西榆林 719000)

摘 要:利用常规气象资料和 NCEP1°×1°再分析产品以及雷达回波资料,对陕西北部榆林市 2012 年 7 月 14—28 日 3 次大暴雨天气过程进行分析表明,华北冷涡后部有强冷平流,850 hPa 偏南风较大,气层有较强的垂直风切变,可引起陕北北部局地突发性大暴雨;雷达回波显示反射率突然增强到60 dBz 以上,并有中气旋出现;副高西伸北抬,其外围形成较强的西南风急流到达陕北北部,当有西风槽东移或有北路冷空气下滑时,触发陕北北部区域性大暴雨;大暴雨前期对应有假相当位温高能区、高位涡和能量锋,散度、强直速度均较一般暴雨量级明显偏大;来自东海、南海及孟加拉湾的水汽均是大暴雨的水汽来源。

关键词:陕西北部:大暴雨:中气旋

中图分类号: P458.1

文献标识码: A

陕西省榆林市地处西北内陆腹地,暴雨年均不足一次,大暴雨出现概率极低,而且局地性强,所以预报难度更大。研究表明[1-5],盛夏 7—9 月副高北抬到 25°N~30°N,中低层水汽和能量输送比较充沛,当有西风槽或高原槽东移时与副高外围的西南暖湿气流相遇,容易在本地产生局地暴雨,造成洪涝灾害。

2012年7月14—15日,陕西北部榆林市出现强对流天气(以下简称7·14暴雨),绥德县15日00—03时,义合、满堂川两个乡镇降水量分别达到100.4 mm、111.0 mm。7月20—21日,陕北再降大到暴雨(以下简称7·21暴雨),榆林市16个乡镇降水量超过100 mm,神木中鸡镇最大降水量142.5 mm,府谷县城降水量达125.2 mm。27—28日(以下简称7·27暴雨),榆林市26个乡镇雨量大于100 mm,榆林城区雨量156.8 mm,佳县县城雨量最大,达279.2 mm,其中27日降水量221.9 mm,是榆林市有气象观测记录以来的最大日降水量。半月内连续3次大暴雨在陕北历史上较为少见,也造成重大洪涝灾害和人员财产

损失。通过分析这 3 次大降水的环流形势、水汽输送、物理量等特征,有助于进一步认识陕西北部大暴雨的形成机理。

1 环流形势

1.1 7 • 14 暴雨

7月14日08时,亚洲中高纬度500hPa为一高两低型,新疆到河西为高脊,脊线位于100°N附近,巴湖和华北为低涡,冷中心最低气温分别为一13°C和一9°C,榆林处于华北冷涡后部偏北气流中,环流径向度较大,偏北风速达到8~12m/s,一8°C线位于延安以北。700hPa榆林上空也维持6~8m/s的北风,榆林北部形成306dagpm闭合低中心,配合有8°C的冷中心。850hPa榆林西部有23°C暖中心,并在榆林中部形成横切变。300hPa高空急流分为两支,一支位于45°N,一支位于35°N,副高位于130°E以东。14时地面图上,榆林为热低压控制,北部有弱冷空气活动。14日20时,新疆高脊东移,华北冷涡加深,陕北上空处于涡后脊前较强的偏北气流,冷平流加强(图1a),延安探空站 T-lnp图显示,

收稿日期: 2012-10-18

作者简介:李强(1963一),男,陕西榆林人,工程师,从事气象基础业务研究。

700~250 hPa 均为对流不稳定区,湿对流有效位能 CAPE 达 1 241.4 J/kg,700 hPa 以下为较弱的稳定层结,非常有利于对流的触发和加强。850 hPa 以下为暖湿气团,低层暖平流与高层冷平流叠加,使对流不稳定加强,地面有弱冷锋过境,触发形成局地突发性大暴雨。

1.2 7 • 21 暴雨

7月20日08时300hPa高空图,亚洲40°N附近为平直西风气流。20时,河套北部形成高空急流≥40 m/s,陕北处于急流南侧。500hPa贝湖有低涡南压,副高588 dagpm线西伸到116°E,584 dagpm线西伸到95°E(图1b)。700hPa陕北形成风速≥15 m/s的西南风低空急流,高低空急流耦合,有利于暴雨区的垂直运动发展,同时贝湖冷涡底部冷空气南下,与副高外围西南暖湿气流在陕北北部交汇,形成斜压不稳定的大气层结。21日14时,700hPa低空急流左侧形成306 dapgm

闭合中尺度低压,中心位于榆林北部的府谷和神木县,低压中心强烈的上升运动和强辐合形成了本次大暴雨。

1.3 7 • 27 暴雨

7月26日08时300hPa中纬度为平直气流,高空急流位于95°E以西,27日02时,高空急流向东发展,风速增大到35m/s,陕北位于高空急流的南侧。500hPa副高588dagpm线西伸到110°E,脊线位于35°N,584dagpm线穿过陕北(图1c),同时西风带有短波槽东移。700hPa副高外围西南低空急流风速达12m/s,并在陕北形成风向风速辐合。850hPa有较强的东南风配合,风速>8m/s,500hPa槽前正涡度与低层风场辐合叠加,形成了低层辐合高层辐散的垂直分布,再加上副高外围持续的水汽输送,是持续性大暴雨天气形成的主要物理条件。

3次大暴雨的环流形势共同点是都有高空急

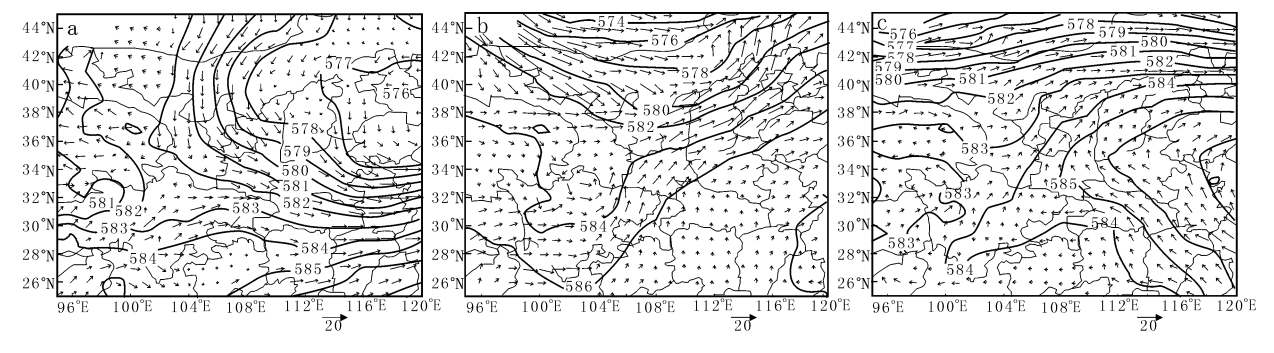


图 1 2012 年 7 月榆林 3 次大暴雨 500 hPa 环流形势(单位:dagpm)及风场(单位:m/s) (a 14T20; b 21T08; c 27T08)

流,后两次大暴雨都有低空急流。不同点是:7•14下暖上冷的对流不稳定层结,导致强对流天气形成局地大暴雨;7•21暴雨是副高冷涡型,即副高加强西伸,其外围形成西南低空急流,与贝湖冷涡底部冷空气在陕北北部形成对峙,导致700hPa有低值系统生成,触发陕北北部区域性大暴雨。7•27暴雨是副高西风槽型,即副高588dagpm线稳定在118°E,其外围有较强的西南风急流维持在陕北,西风带为平直西风气流多短波槽活动,冷空气较弱,大暴雨形成的主要物理机制是中低层水汽和热量丰富,并在较强的风场辐合。850hPa偏东气流为暴雨区提供了更多的高能高湿

条件,形成持续两天的大暴雨。

2 低空急流

以往的研究表明,大暴雨通常有低空急流输送水汽^[2]。3次大暴雨过程中,7·14暴雨没有低空急流,副高偏东,陕北地区处在华北低涡底部的偏北气流中,700 hPa以上均为西北气流,只有850 hPa有>8 m/s 的偏南风(图 2a),大暴雨出现在南风大风区的东侧。7·21暴雨副高西伸加强,其外围形成>11 m/s 的西南风急流(图 2b),大暴雨出现在低空急流的北侧;7·27暴雨低空急流最大达到 16 m/s (图 2c),先有急流建立,然后降水开始,降水区位于急流的东北侧,由于急

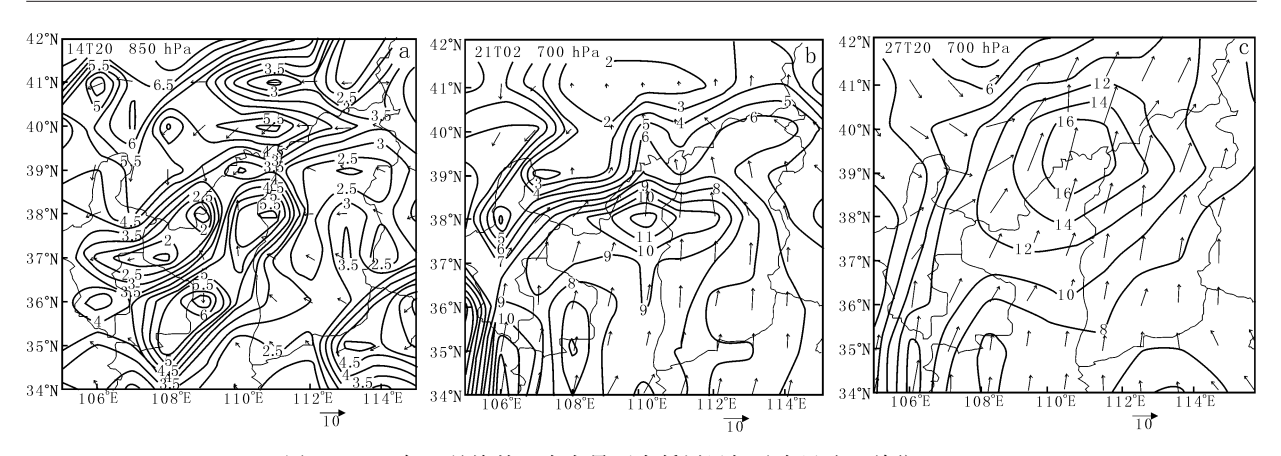


图 2 2012 年 7 月榆林 3 次大暴雨中低层风场及全风速 (单位: m/s)

流持续时间长,而且强度一直维持 16 m/s,所以大暴雨持续时间长达 2 d。

3 水汽输送

大暴雨需要较强的水汽辐合^[6-7],陕北地处西北内陆腹地,海洋水汽很难远距离输送,3次大暴雨范围、强度、持续时间均不相同,与水汽通量及水汽辐合密切相关。

7月14日20时700hPa从四川到陕北有一条水汽通道,最大水汽通量7g/(cm·hPa·s),水汽通量辐合偏南,位于陕北南部,辐合值达一1.5×10⁻⁷g/(cm²·hPa·s)(图3)。850hPa水汽通量辐合达一4×10⁻⁷g/(cm²·hPa·s),正好位于陕北。7·21暴雨在700hPa明显有两条水汽通道,一是西南急流携带大量水汽到达陕北,水汽通量最大值达16g/(cm·hPa·s),二是南风气流携带的水汽与西南气流在陕北合并,水汽

通量辐合达到 -14×10^{-7} g/(cm² · hPa · s), 700 和 850 hPa 都有辐合区与大暴雨区对应,辐合层较厚(图 4)。7 · 27 暴雨有 3 条水汽通道(图 5),分别来自西南、南和东南,水汽通量最大层在 850 hPa,通量最大值为 14 g/(cm · hPa · s),主要辐合层在 $700 \sim 500$ hPa,辐合最强为 -1.5×10^{-7} g/(cm² · hPa · s)。

可以看出,7·14 暴雨只有一条水汽通道,水汽通量并不大,但是辐合较强,辐合层在850 hPa,所以大暴雨范围很小;7·21 暴雨有两个水汽通道,水汽通量最大,辐合特别强,辐合层在850~700 hPa之间,所以暴雨范围较大,量级也较大;7·27 暴雨有3个水汽通道,水汽辐合没有前两次强,但辐合层较厚,850~500 hPa均为辐合层,而且500 hPa辐合最强,该次过程降水量最大,持续时间最长。

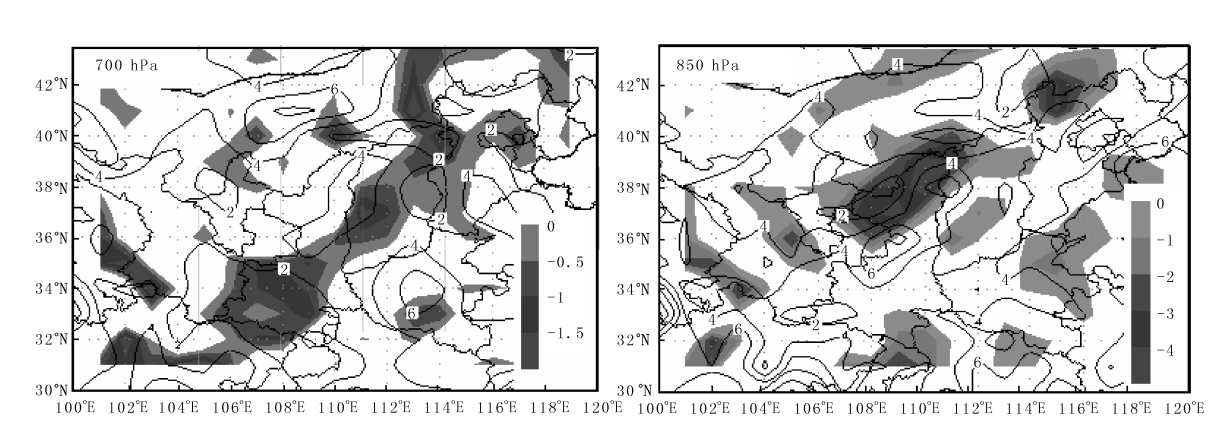
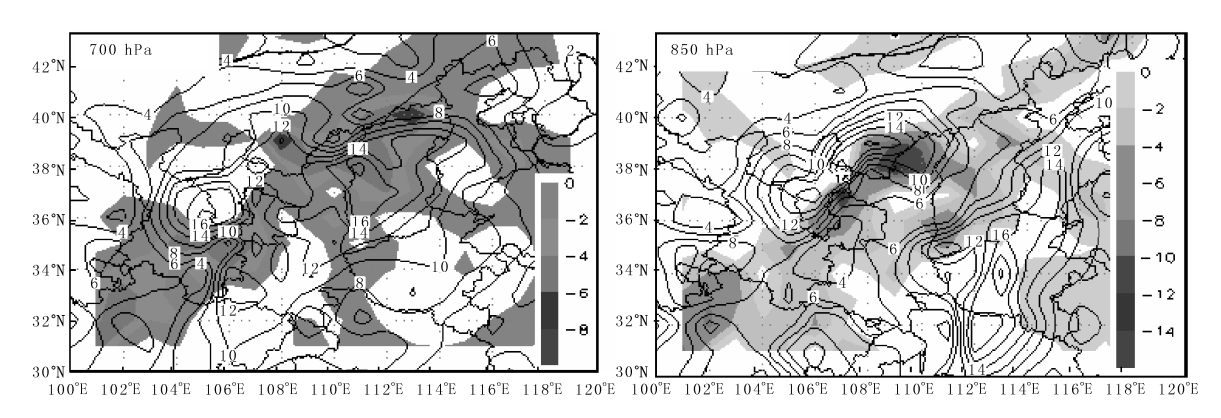


图 3 2012-07-14T20 水汽通量 (g/ (cm·hPa·s)) 和水汽通量散度 (阴影区 10⁻⁷ g/ (cm²·hPa·s))



陕

图 4 2012-07-21T08 水汽通量 (g/ (cm·hPa·s)) 和水汽通量散度 (阴影区 10⁻⁷ g/ (cm²·hPa·s))

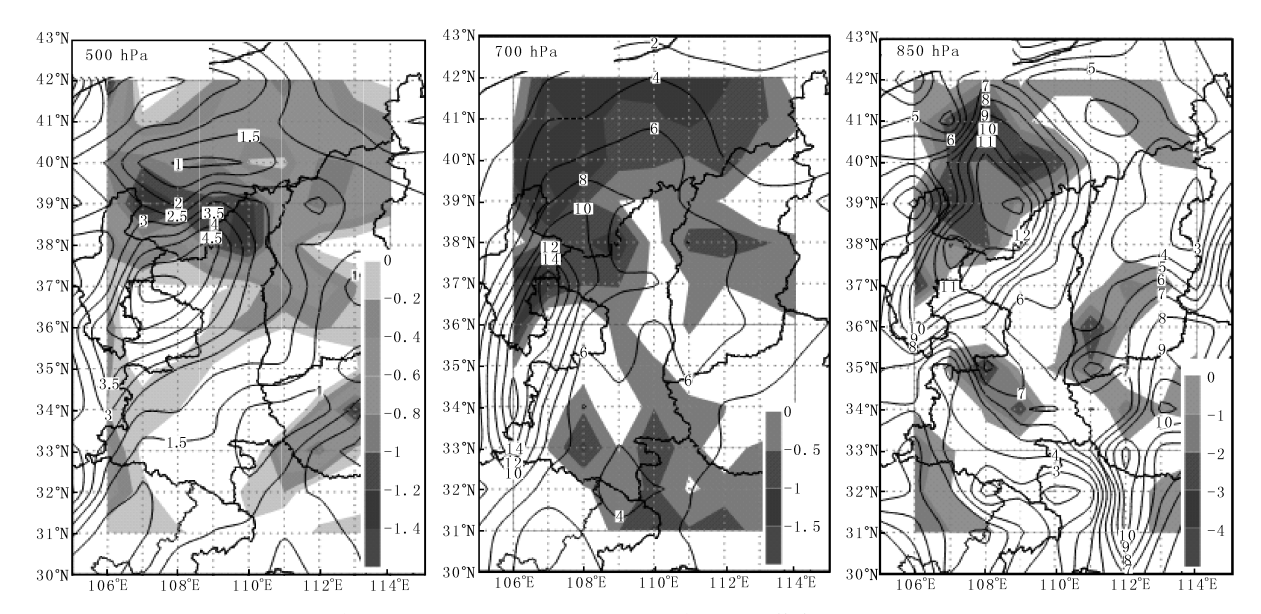


图 5 2012-07-27T08 水汽通量 (g/ (cm·hPa·s)) 和水汽通量散度 (阴影区 10⁻⁷ g/ (cm²·hPa·s))

4 物理量场

4.1 散度和涡度

 $7 \cdot 14$ 暴雨前期 $850 \sim 500$ hPa 散度均为辐合,20 时达到最大为 -30×10^{-6} s⁻¹,高层 300 hPa 有辐散中心 $>20 \times 10^{-6}$ s⁻¹(图 6a)。 $7 \cdot 21$ 暴雨散度场表现为 21 日 02 时 $850 \sim 500$ hPa 各层辐合显著增强,辐合区位置基本重叠,各层辐合值均 $<-40 \times 10^{-6}$ s⁻¹。具有辐合层厚,辐合强的特点,同时高层 300 hPa 辐散值达到 60×10^{-6} s⁻¹(图 6b)。 $7 \cdot 27$ 暴雨低层到 500 hPa 均为较强辐合,300 hPa 辐散 $>20 \times 10^{-6}$ s⁻¹(图 6c),低层辐合高层辐散的配置从 27 日 08 时持续到 20 时,暴雨区随着辐合辐散区的位置从佳

县向北移动到府谷。

3次大暴雨均对应有高层辐散低层辐合,而且辐合中心与辐散中心基本重合,7·14暴雨中心位于辐合区左侧,7·21暴雨中心位于辐合区中心,7·27暴雨中心位于辐合区东侧,辐合辐散的量级越大,降水越大。暴雨的强度基本与辐合辐散增强同步。

500 hPa 涡度场上,3 次大暴雨均对应有较强的正涡度中心,而且量级也比较大(图略),7 • 14 暴雨 500 hPa 涡度为 $70 \times 10^{-6} \text{ s}^{-1}$,7 • 21 暴雨涡度达 $100 \times 10^{-6} \text{ s}^{-1}$,7 • 27 暴雨涡度达 $80 \times 10^{-6} \text{ s}^{-1}$ 。

与普通暴雨相比,大暴雨在散度和涡度场表

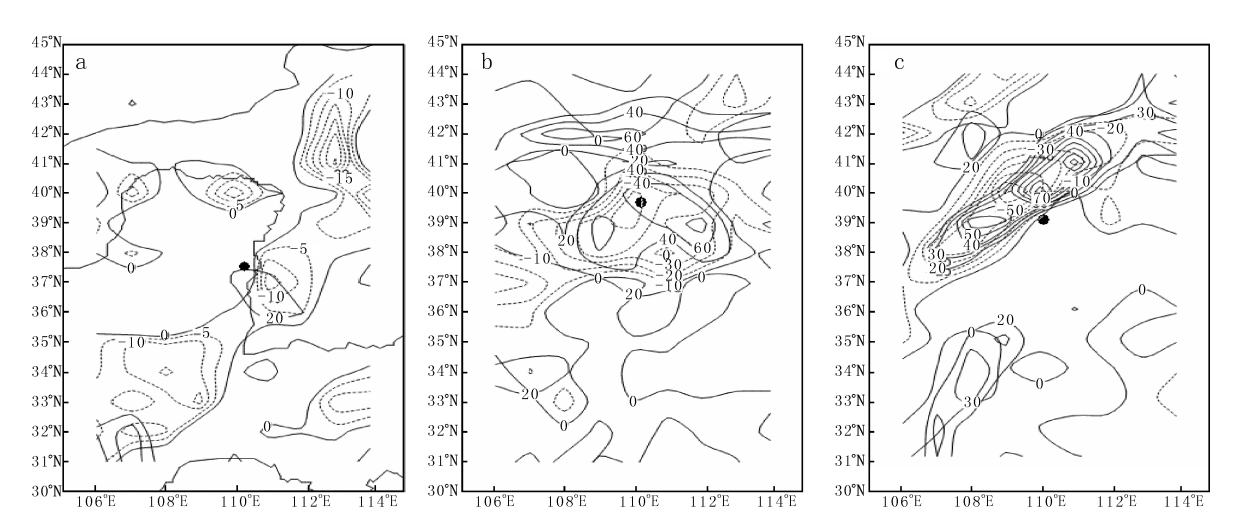


图 6 2012 年 7 月榆林 3 次大暴雨过程 700 hPa 散度场 (点线) 和 300 hPa 散度场 (实线) 叠加图 (a 14T20, b 21T02, c 27T20; 单位为 10⁻⁶ s⁻¹; 黑点为大暴雨中心位置)

现为更明显的辐合和气旋性旋转,量级也较大, 特别是高层辐散的抽吸作用对气柱垂直运动的影响较大。

4.2 垂直速度

 $7 \cdot 14$ 暴雨在垂直运动场表现为地面至 400 hPa 均为上升运动,垂直速度为-1.1 Pa/s,最大垂直运动中心位于 $850 \sim 700$ hPa。 $7 \cdot 21$ 暴雨期间的垂直运动表现为整层均为上升运动,最大值

达到-2 Pa/s,中心位于 $400\sim600$ hPa之间。7•27 暴雨表现为从低层到高层垂直速度增大,低层为-0.4 Pa/s,高层为-1.8 Pa/s,垂直运动伸展高度更高。

3次大暴雨均表现为较强的上升运动,垂直速度均小于-1 Pa/s,比普通降水大一个数量级。7·14和7·27暴雨有明显的次级环流,加强了垂直运动发展(图7)。

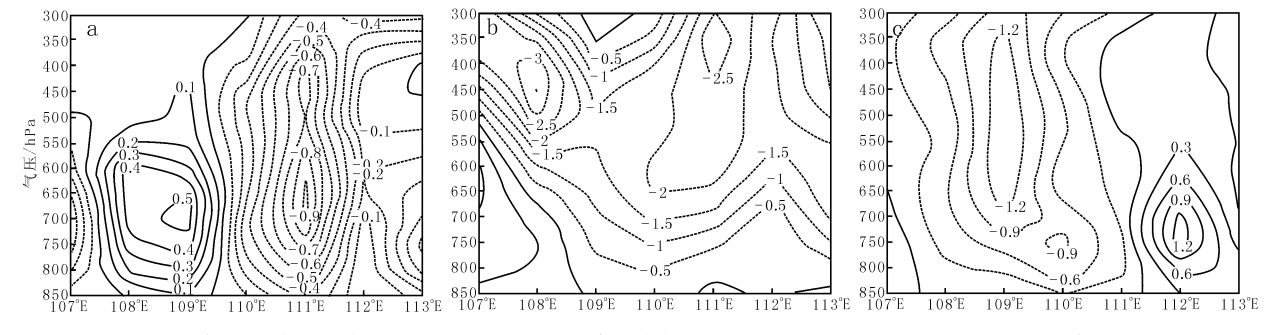


图 7 2012 年 7 月榆林 3 次大暴雨过程沿 39°N 垂直速度剖面图 (a 14T14, b 21T08, c 27T20; 单位为 Pa/s)

4.3 假相当位温和位涡

盛夏大暴雨的发生常常对应中低层有高能区^[8-9]。分析 3 次大暴雨发生期间的假相当位温场可以看出,7·14 暴雨在发生前期即 14 日 08 时就有高能舌从四川伸向陕北,中心假相当位温达 65°C以上,高能舌一直稳定在陕北北部。7·21 和

7 • 27 暴雨假相当位温达 80 ° C。3 次大暴雨发生前期都有相对湿度 < 50 %的干冷空气从高层侵入到 500 hPa 高能区,形成斜压不稳定或者能量锋区,成为大暴雨的触发机制。

7·14 暴雨在 14 日 20 时,高层到 650 hPa 有高位涡区向下传递,并在暴雨区上空 650 hPa 附

近与假相当位温高值区形成小尺度的斜压不稳定层结(图8a),加上垂直上升运动的发展,形成了局地大暴雨。7·21大暴雨在20日20时,600hPa以下为高能区,假相当位温>70°C,高位涡侵入到700hPa,中心>0.3 PVU(图8b),比7·14暴雨位涡数值大,范围也大,斜压扰动更

强,产生的大暴雨范围大,持续时间长。7·27 暴雨在26日20时,40°N附近有明显的能量锋区 向南斜升到400hPa,冷区一侧既是能量低值区, 也是位涡高值区,水平方向表现为斜压不稳定, 垂直方向表现为位势不稳定(图8c),在它们的共 同作用下,导致了大暴雨天气。

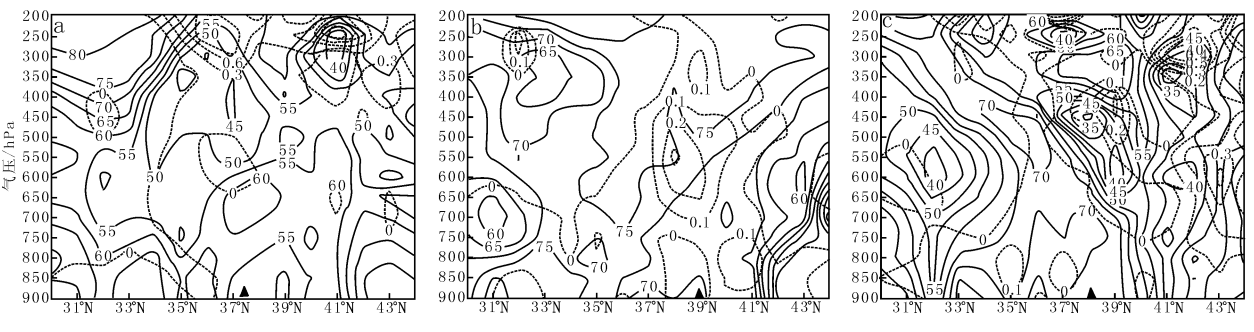


图 8 2012 年 7 月 3 次大暴雨过程假相当位温 (实线,单位为°C) 和位涡 (虚线;单位为 PVU) 沿暴雨中心经向剖面叠加 (a 14T20, b 20T20, c 26T20;黑三角为大暴雨中心)

3次大暴雨均表现为具有高位涡特征的冷空 气与低层暖湿空气的配置,形成有利于暴雨的中 尺度热力和动力系统。

5 雷达回波

7・14 大暴雨在雷达回波上表现为 3 个单体回波依次加强影响暴雨区(图 9),第一个回波在14 日 14:17(本小节时间为世界时)于绥德局地生成的单体对流回波 a,反射率《50 dBz;14:47 在其左侧新生一单体对流回波 b,反射率强度》60 dBz,对应地面出现冰雹和强降水;15:18 单体 a减弱,b增强,反射率》65 dBz,15:48 回波 b向后侧传播增强,16:01 回波达到最强,》55 dBz 区域有 20×10 km²,回波 b 造成绥德部分乡镇出现冰雹和局地暴雨,其中满堂川 2 小时降水量达 97.2 mm;17:21 从上游移来》65 dBz 回波单体再次影响绥德县部分乡镇。

回波 b 在径向速度场上表现出了中气旋的特征(图 10),15:48 回波 b 向后传播增强,速度场上对应中气旋开始生成,15:55 中气旋发展成熟,16:01 减弱,中气旋直径为 12 km,最大风速>20 m/s,垂直高度位于 $2.5\sim4.5 \text{ km}$,0.5°和 1.5°仰角可见,维持时间 3 个体扫,即>13 min。

7·21 暴雨和 7·27 暴雨的雷达回波为大片层状云回波(图略),组合反射率最大为 55 dBz,回波大值区呈列车效应经过大暴雨区,速度场上可以明显地看到急流存在,回波大值区出现在急流轴上。

6 小结

- 6.1 陕北北部盛夏大范围大暴雨与西太平洋副 热带高压西伸北抬密切相关联,3次大暴雨中2 次都有副高的作用,华北冷涡后部强冷平流与地 面偏南气流叠加引发局地突发性大暴雨。
- 6.2 大暴雨在物理量场对应较强的辐合辐散及垂直运动,比一般暴雨大一个数量级,通过分析假相当位温和位涡可知能量场上表现为高能舌和能量锋,能级>80°C,具有高位涡特征的干冷空气侵入高能区,形成强的斜压不稳定层结,有利于大暴雨的产生。
- 6.3 大暴雨的水汽来源有3条,分别是东海、南海和孟加拉湾,都是通过副高外围形成的低空 急流输送,水汽辐合层位于850~500 hPa。
- 6.4 突发性大暴雨在雷达回波上表现出中气旋 特征。

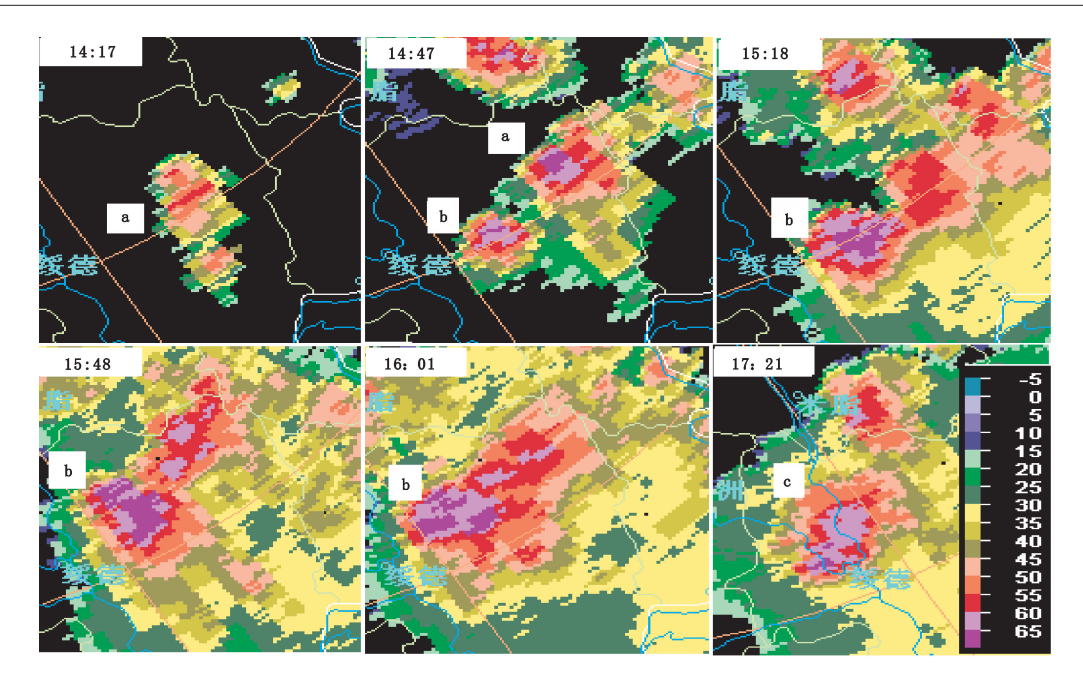


图 9 2012-07-14 榆林多普勒雷达组合反射率 (单位为 dBz, 世界时)

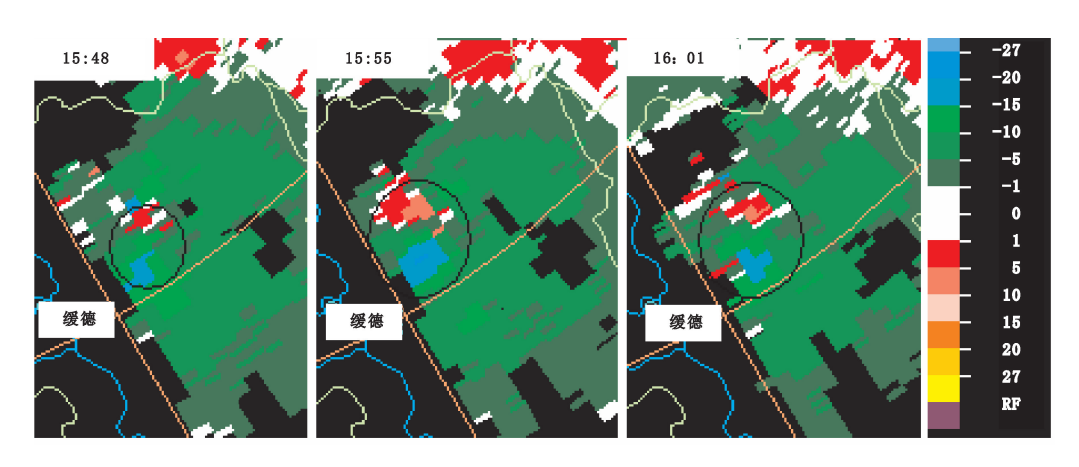


图 10 2012-07-14 榆林多普勒雷达径向速度(单位为 m/s, 仰角 0.5°, 世界时)

参考文献:

- [1] 刘勇,杜川利. 黄土高原一次突发性大暴雨过程的诊断分析[J]. 高原气象,2006,25(2):302-308.
- [2] 刘勇, 王川, 王楠, 等. 低空急流对黄土高原大 暴雨的作用「J]. 陕西气象, 2006 (5): 1-4.
- [3] 刘子臣,梁生俊,张健宏.登陆台风对黄土高原东北暴雨的影响[J].高原气象,1997,16(4):402-409.
- [4] 张弘,陈卫东,孙伟.一次台风与河套低涡共同影响的陕北暴雨分析[J].高原气象,2006,25(1):52-59.
- [5] 刘慧敏.陕北地区—次突发性暴雨综合分析[J]. 陕西气象,2008(2):27-30.

- [6] 赵世发,王俊,周军元,等.陕南两次罕见的特大 暴雨对比分析[J].气象,2001,27(10):28-31.
- [7] 张维桓,董佩明,沈桐立.一次大暴雨过程中急流 次级环流的激发及作用[J].大气科学,2002, 24 (1):45-57.
- [8] 杜继稳,李明娟,张弘,等.青藏高原东北侧突发性暴雨地面能量场特征分析[J].高原气象,2004,23(4):453-457.
- [9] 张弘, 孙伟. 初夏青藏高原东侧一次特大暴雨的综合分析 [J]. 高原气象, 2005, 24 (2): 232-239.